

### **§ 3.3. НЕЛИНЕЙНАЯ, ДИССИПАТИВНАЯ И ДИФРАКЦИОННАЯ ТРАНСФОРМАЦИЯ АКУСТИЧЕСКИХ ВИДЕОИМПУЛЬСОВ.**

Акустическая нелинейность, как было показано в § 3.2, в процессе теплового возбуждения звука практически проявляется слабо. Однако в процессе распространения возбуждаемых акустических видеоимпульсов ее влияние может быть существенным (что собственно и видно из сравнения профилей волны при  $\alpha z = 5$  и  $\alpha z = 10$  на рис. 3.5 и 3.6). Фактически это означает, что характерная длина проявления нелинейных эффектов  $L_{NL}$  мала по сравнению с размерами области возбуждения:  $\alpha L_{NL} \gg 1$ . Ранее было показано (см. § 1.2), что в зоне возбуждения можно пренебречь также диссипативными эффектами:  $\alpha L_{DS} \gg 1$ . В то же время соотношение масштабов  $L_{NL}$  и  $L_{DS}$  может быть произвольным.

Существенное влияние на тепловое возбуждение звука могут оказывать дифракционные явления (см. § 2.2). Очевидно, однако, что при сильной дифракции ( $\alpha a \leq 1$ ) другие накапливающиеся эффекты (нелинейность, диссипация) будут проявляться только в дальней волновой зоне. В силу вышеизложенного целесообразно рассматривать только случай  $\alpha L_{DF} \gg 1$ .

**Указанные соотношения**

$$(\alpha L_{DS}, \alpha L_{NL}, \alpha L_{DF}) \gg 1$$

позволяют анализировать тепловое возбуждение звука поэтапно. На первом этапе рассматривается задача о тепловом возбуждении звука в отсутствие диссипативных, дифракционных и нелинейных

эффектов. Полученные выражения для профиля бегущей волны (см. §§ 2.1, 2.3) используются в качестве граничного условия для задачи эволюции профиля волны в нелинейной, диссипативной среде при ограниченных поперечных размерах пучка [18] и в отсутствие тепловых источников.

Уравнение, описывающее такую эволюцию волны, – уравнение Хохлова-Заболотской-Кузнецова [24] – может быть записано в виде

$$\frac{\partial}{\partial \tau} \left( \frac{\partial v}{\partial z} - \frac{\varepsilon}{c_0^2} v \frac{\partial v}{\partial \tau} - \frac{b}{2 \rho_0 c_0^3} \frac{\partial^2 v}{\partial \tau^2} \right) = \frac{c_0}{2} \Delta_{\perp} v. \quad (3.14)$$

Здесь  $v$  –  $z$ -компоненты колебательной скорости. В общем случае решение (3.14) возможно только численным образом.

Аналитические результаты могут быть получены в случаях сильного различия масштабов проявления отдельных эффектов. Так, если  $L_{DS} \ll L_{NL}, L_{DF}$ , то (3.14) сводится к параболическому эволюционному уравнению

$$\frac{\partial v}{\partial z} - \frac{b}{2 \rho_0 c_0^3} \frac{\partial^2 v}{\partial \tau^2} = 0,$$

спектр решения которого представим в виде

$$\tilde{v}(\omega, z) = \tilde{v}(\omega, z=0) \exp\left(-b\omega^2 z / 2\rho_0 c_0^3\right).$$

В качестве граничного условия  $\tilde{v}(\omega, z=0)$  используется решение задачи возбуждения (2.53) или (2.54). Соответственно временное представление будет иметь вид:

$$v(z, \tau) = \frac{1}{2\pi} \int_{-\infty}^{+\infty} K(\omega) \tilde{I}_0(\omega) \exp\left(-i\omega\tau - b\omega^2 z / 2\rho_0 c_0^3\right). \quad (3.15)$$

Решение (3.15) показывает, что в этом случае спектр возбуждаемой волны домножается на диссипативный фактор, который приводит к прогрессирующему по мере распространения “завалу”

высокочастотных компонент сигнала.

На больших расстояниях  $z > 2 \rho_0 c_0^3 b^{-1} (\min(\tau_L, \alpha c_0))^2$  спектр звукового сигнала ограничивается диссипативным фактором и профиль сигнала имеет универсальный вид:

$$v(N=0) = \frac{\beta E_0}{\rho_0 c_p} \sqrt{\frac{\rho_0 c_0^3}{2\pi bz}} \exp\left(-\frac{\rho_0 c_0^3}{2bz} \tau^2\right)$$

- гауссовый для жесткой границы и

$$v(N=\infty) = \frac{\beta E_0}{\rho_0 c_p} \sqrt{\frac{\rho_0 c_0^3}{2\pi bz}} \left( -\frac{\rho_0 c_0^3}{\alpha bz} \tau \right) \exp\left(-\frac{\rho_0 c_0^3}{2bz} \tau^2\right)$$

его производной - для свободной границы. Естественно, что в случае импедансной границы профиль будет иметь вид их взвешенной суммы. Возбуждаемый при жесткой границе сигнал убывает в диссипативной среде пропорционально  $z^{-1/2}$ , при свободной - пропорционально  $z^{-1}$ . На расстояниях  $z > 2 \rho_0 c_0^3 / (\alpha b c_0)^2$  профиль волны имеет универсальную форму и все детали распределения источников тепла стираются.

Если  $L_{DF} \ll L_{NL}, L_{DS}$ , то (3.14) сводится к параболическому уравнению теории дифракции:

$$\frac{\partial}{\partial \tau} \left( \frac{\partial v}{\partial z} \right) = \frac{c_0}{2} \Delta_{\perp} v.$$

Рассмотрим для определенности гауссово распределение источников в поперечном направлении

$$I(t, \mathbf{r}_{\perp}) = I_0(t) \exp\left(-\frac{\mathbf{r}_{\perp}^2}{a^2}\right),$$

здесь  $a$  - радиус пучка. Тогда спектр возбуждаемого сигнала может быть записан в виде

$$\tilde{v}(\omega, z, \mathbf{r}_\perp) = K(\omega) \tilde{I}_0(\omega) \frac{1}{1 + iz/L_{DF}} \exp\left(-\frac{\mathbf{r}_\perp^2}{a^2(1 + iz/L_{DF})}\right),$$

где  $L_{DF} = \omega a^2 / 2c_0$  – длина дифракции волны частоты  $\omega$ . Поперечное распределение каждой из гармоник остается гауссовым.

На оси пучка  $\mathbf{r}_\perp = 0$  спектр (3.16) имеет вид произведения исходного спектра на дифракционный фактор  $(1 + iz/L_{DF})^{-1}$  (в полной аналогии с (3.15)). На рис. 3.8, 3.9 представлено изменение профиля волны при переходе из ближней волновой зоны в дальнюю при жесткой и свободной границах соответственно.

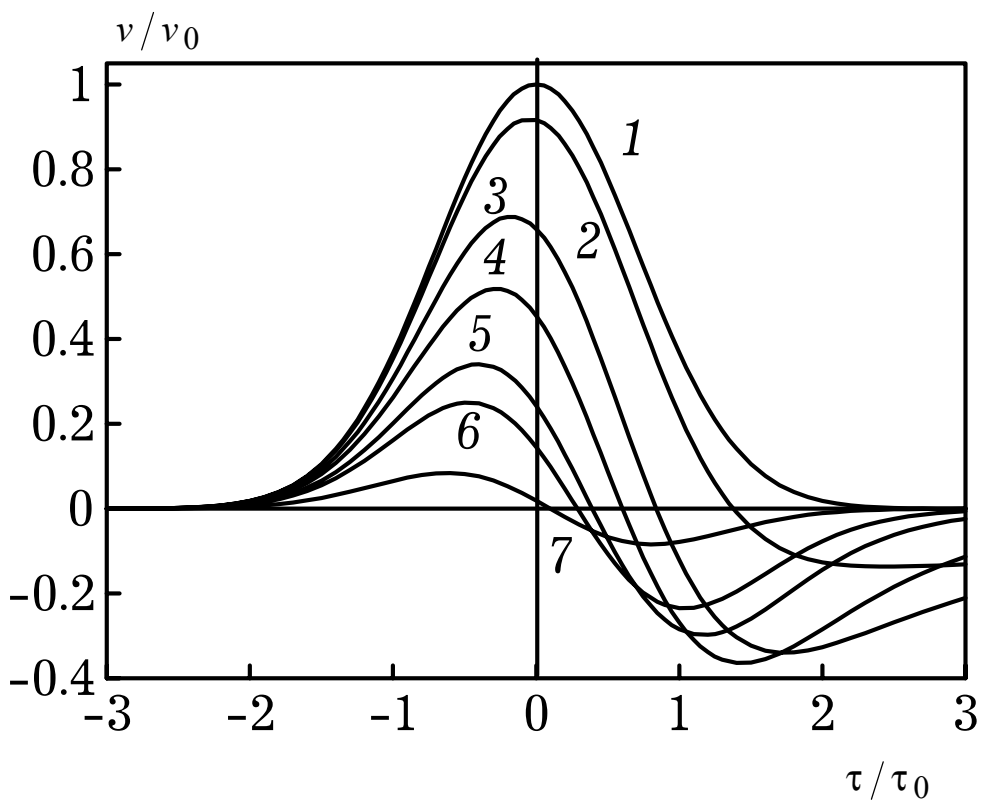


Рис.3.8. Дифракционная трансформация оптоакустического импульса, возбуждаемого при жесткой границе для следующих значений величины  $2c_0 z / a_0^2$ : 1 - 0; 2 - 0.1; 3 - 0.5; 4 - 1; 5 - 2; 6 - 3; 7 - 10.

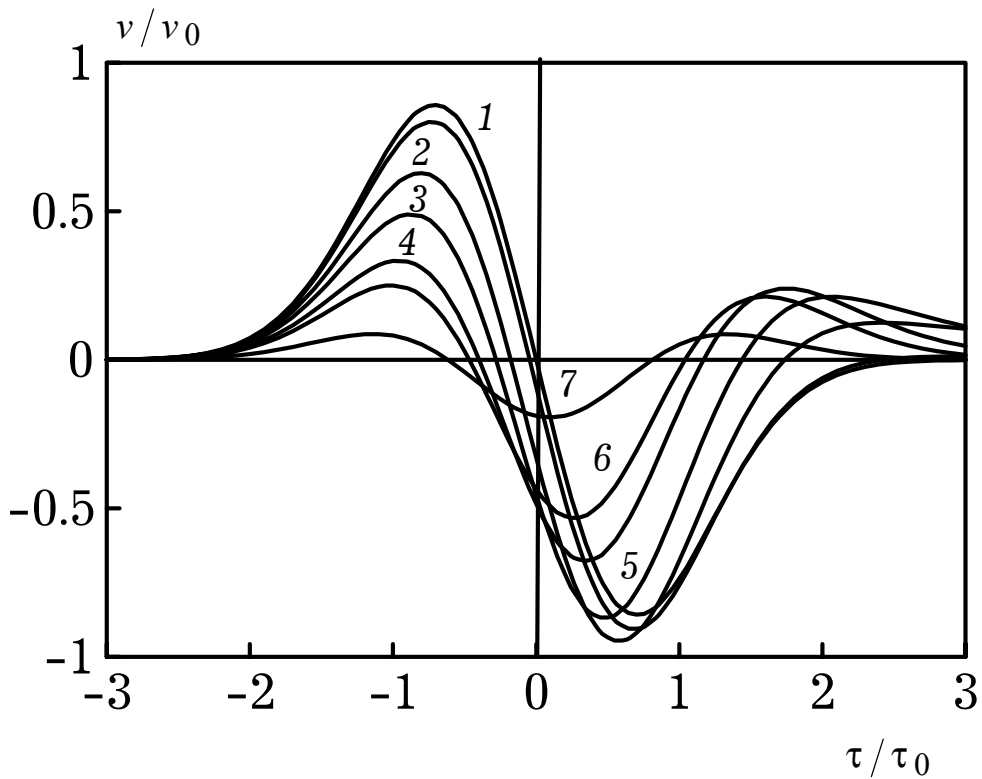


Рис.3.9. Дифракционная трансформация оптоакустического импульса, возбуждаемого при свободной границе для следующих значений величины  $2c_0 z / a_0^2$ : 1 - 0; 2 - 0.1; 3 - 0.5; 4 - 1; 5 - 2; 6 - 3; 7 - 10.

На расстояниях  $z > \alpha a^2$  формулу (3.16) можно существенно упростить, так

$$\frac{1}{1 + iz/L_{DF}} \approx -i \frac{\omega a^2}{2c_0 z}.$$

Поэтому на оси

$$\tilde{v}(\omega, z, \mathbf{r}_\perp = 0) = -i \frac{\omega a^2}{2c_0 z} K(\omega) \tilde{I}_0(\omega)$$

и, следовательно, профиль волны в дальней зоне будет производной от профиля волны на границе, то есть профиля решения одномерной задачи.

Соотношение масштабов проявления диссипативных и дифракционных явлений описывается безразмерным числом

$$\frac{L_{DF}}{L_{DS}} = \frac{ba^2\omega^3}{4\rho_0 c_0^4},$$

которое пропорционально кубу частоты. На высоких частотах преобладает диссипация, на низких - дифракция. Границная частота

$$\omega_{SF} = \left( \frac{4\rho_0 c_0^4}{ba^2} \right)^{1/3}$$

лежит в далеком ультразвуковом диапазоне для  $a < 10^{-1}$  см и  $b < 1$  пз.

Поэтому в практических важных случаях теплового возбуждения звука диссипация будет существенно проявляться в областях резкого изменения профиля - ударных фронтах.

Ударный фронт может образоваться, если длина образования разрыва  $L_{NL}$  меньше длины диссипации  $L_{DS}$ . Их отношение характеризует число Рейнольдса

$$Re = \frac{L_{DS}}{L_{NL}} = \frac{2\rho_0 c_0 \varepsilon}{b\omega} v_a,$$

где  $v_a$  - амплитуда колебательной скорости. При тепловом возбуждении звука эта амплитуда может быть достаточно велика ( $M_a \sim 10^{-2}$ , см. § 1.2). Поэтому при  $L_{NL} \ll L_{DS}, L_{DF}$  уравнение (3.14) переходит в уравнение простых волн

$$\frac{\partial v}{\partial z} - \frac{\varepsilon}{c_0^2} v \frac{\partial v}{\partial \tau} = 0,$$

которое имеет известное неявное решение

$$v = v_0 \left( \tau + \varepsilon z v / c_0^2 \right),$$

где  $v_0(\tau)$  - профиль колебательной скорости на границе  $z=0$ , определяемый решением задачи о возбуждении волны. Нелинейная

трансформация импульсов, возбуждаемых при жесткой и свободной границах, представлена на рис. 3.10, 3.11. Асимптотика формы этих импульсов представляет собой прямолинейные участки профиля и соединяющие их разрывы. Изменение наклона прямолинейного участка с расстоянием носит универсальный характер:

$$\frac{\partial \tau}{\partial v} = \left( \frac{\partial \tau}{\partial v} \right)_{z=0} - \frac{\varepsilon}{c_0^2} z. \quad (3.17)$$

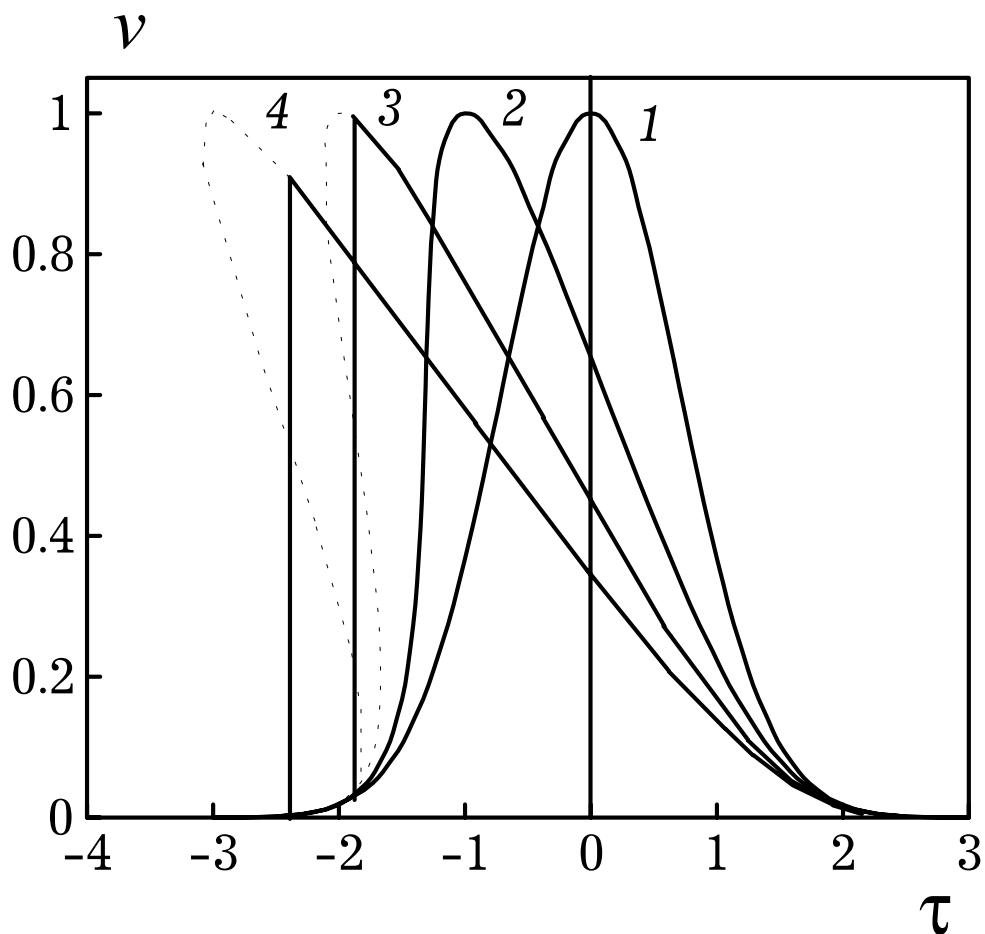


Рис.3.10. Нелинейная трансформация оптоакустического импульса, возбужденного при жесткой границе для следующих значений величины  $\sigma$ : 1 - 0; 2 - 1; 3 - 2; 4 - 3.

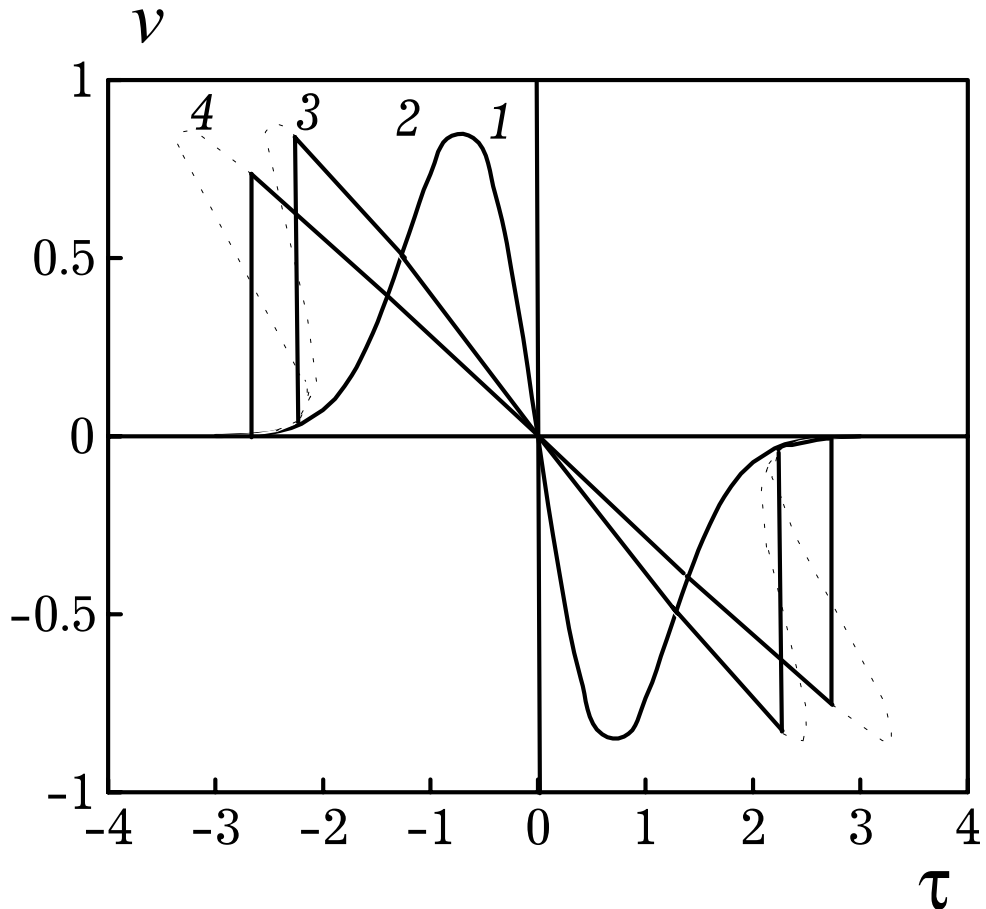


Рис.3.11. Нелинейная трансформация оптоакустического импульса, возбуждаемого при свободной границе для следующих значений величины  $\sigma$ : 1 - 0; 2 - 1; 3 - 2; 4 - 3.

В области ударного фронта уже нельзя пренебрегать влиянием диссипации, которая стабилизирует ширину переходной области.

Уравнение Бюргерса

$$\frac{\partial v}{\partial z} - \frac{\epsilon}{c_0^2} v \frac{\partial v}{\partial \tau} - \frac{b}{2 \rho_0 c_0^3} \frac{\partial^2 v}{\partial \tau^2} = 0,$$

описывающее распространение звука в нелинейной диссипативной среде, может быть получено из (3.14) при  $L_{NL}, L_{DS} \ll L_{DF}$ . Если  $Re \leq 1$ , то диссипация доминирует, и ударный фронт не образуется. В другом случае  $Re >> 1$  влияние диссипации существенно только в

окрестностях фронтов и ее учет может быть проведен в квазистатическом приближении, когда идеальный разрыв заменяется стационарным решением уравнения Бюргерса

$$v_a \vartheta(\tau - \tau_0) \rightarrow v_a \operatorname{th}(\tau - \tau_0).$$

На рис.3.12, 3.13 приведена трансформация акустических видеоимпульсов в нелинейной диссиpативной среде. Сравнение со случаем идеальной среды (рис. 3.10, 3.11) показывает справедливость нашего анализа.

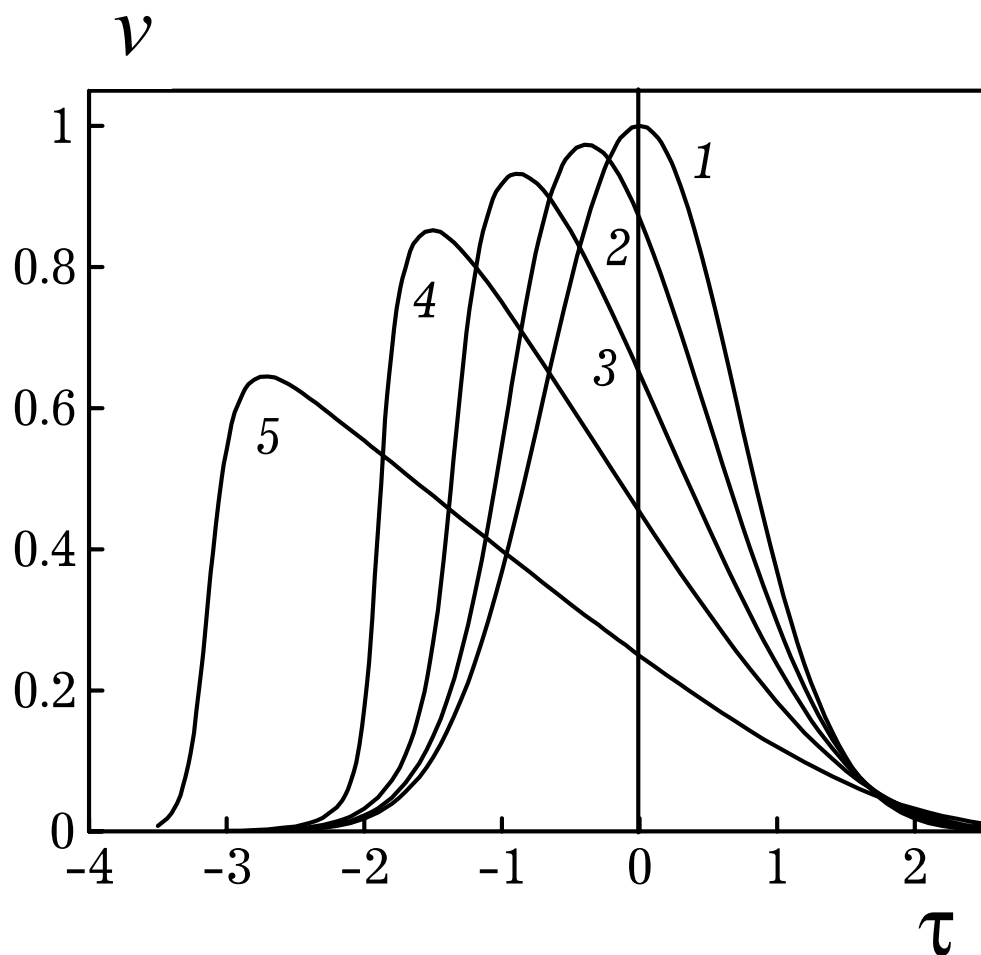


Рис.3.12. Нелинейная трансформация оптоакустического сигнала жесткой границе в диссиpативной среде при  $\Gamma = 0.1$  для следующих значений величины  $\sigma$ : 1 - 0.1; 2 - 1; 3 - 2; 4 - 5.

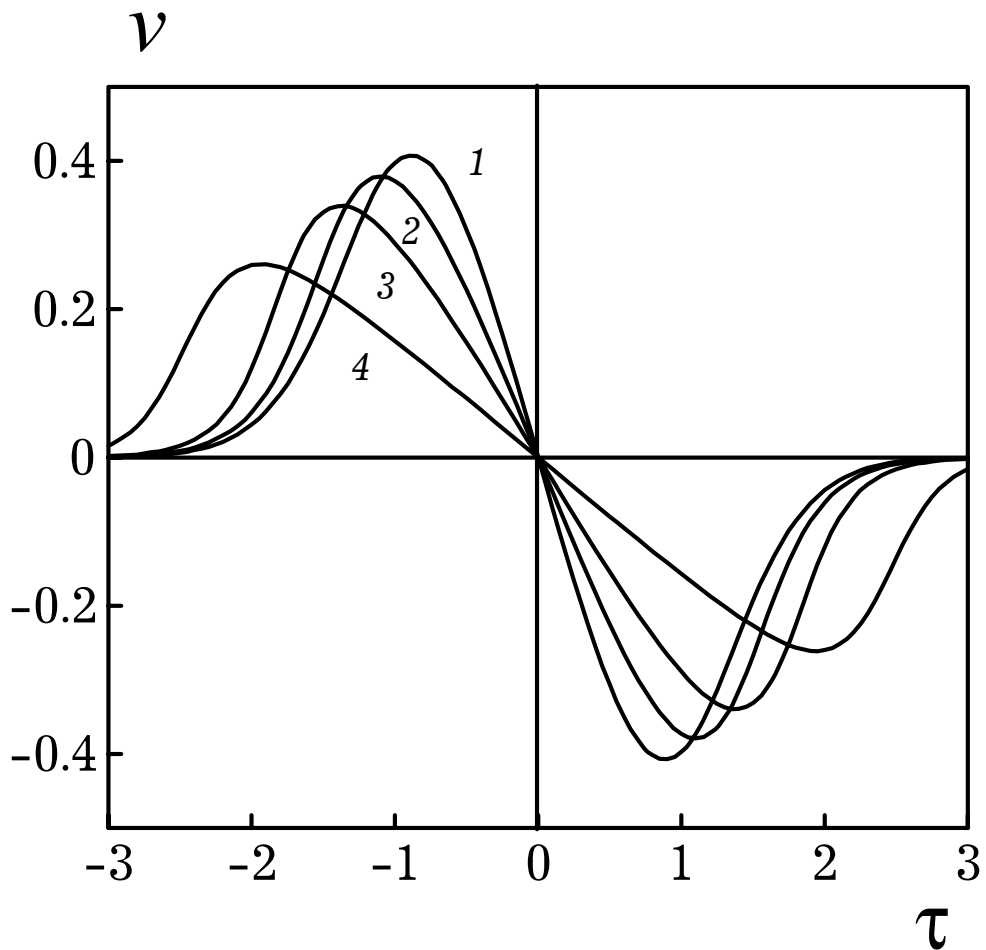


Рис.3.13. Нелинейная трансформация оптоакустического сигнала свободной границе в диссипативной среде при  $\Gamma = 0.1$  для следующих значений величины  $\sigma$ : 1 - 0.1; 2 - 1; 3 - 2; 4 - 5.

Таким образом, при тепловом возбуждении звука влияние акустической нелинейности и диссипации проявляется лишь на этапе распространения волны, а влияние дифракции (при  $\alpha a \leq 1$ ) может быть существенно уже в области возбуждения. Использованный поэтапный анализ процесса теплового возбуждения звука правильно описывает явление в широком диапазоне параметров.